

ENDÜKSİYON MOTORLARININDAKİ STATOR ARIZALARININ TESPİTİ

Müslüm Arkan¹ Hakan Çalış²

¹Elektrik ve Elektronik Müh. Bölümü, Mühendislik Fakültesi
İnönü Üniversitesi, 44069 Malatya

²Teknik Eğitim Fakültesi
Süleyman Demirel Üniversitesi, 32260 Isparta
¹e-posta: markan@inonu.edu.tr ²e-posta: hcalis@tef.sdu.edu.tr

Anahtar sözcükler: Arıza tespiti, simetrik bileşenler

ABSTRACT

This paper presents a non-invasive and on-line method for detection of stator winding faults in 3-phase induction motors from observation of negative sequence supply current. Negative sequence currents arising from supply unbalance are calculated using the reactive component of motor negative sequence impedance, which is essentially independent of temperature and speed variation. The effects of variation in load, supply voltage, and supply voltage imbalance, have been eliminated by using semi-empirical formulae based on theoretical and experimental results. Compensation for this negative sequence current before making the fault decision enables a high fault sensitivity to be achieved in the presence of normal variations in load, voltage, and unbalance.

1-GİRİŞ

Bugünkü birçok kritik endüstrideki gereksinimlerden biri güvenilebilir elektrik motorlarına ihtiyaç duyulmasıdır. Elektrik motorlarının beklenmeyen arızaların başında yüksek ısınım öngörleri, çalışanlar açısından güvenlik ve sağlık problemleri ve en önemli üretime kaybı meydana getirmektedir. Bugün gelinen yüksek teknolojik seviye ve üretim kolaylığından dolayı firmalar için önemli olan arızalarдан dolayı üretim aksamalarını önlemektir. Bakım ve yenileme genelde ikinci planda kalmaktadır. Bundan dolayı büyük firmalar elektrik makinalarının arıza tespiti için yükli paralar harcamaktadırlar. Elektrik makinalarının normal olmayan şartlar altında çalışma prensipleri ve elektrik makinalarındaki arızalar yillardan beri araştırmacıların ilgi alanı olmuştur. Elektrik makinalarındaki arızalar elektrik arızaları ve mekanik arızaları olmak üzere iki kisma ayrılabılır. Elektrik arızaları içinde %36 ile stator arızaları büyük önem taşımaktadır.

Fortescue [4] tarafından geliştirilen simetrik bileşenler teorisi endüksiyon motorlarının arıza ve normal olmayan şartlar altındaki çalışmalarını analiz etmek için kullanılabilir. Simetrik

bileşenler teorisi kullanılarak 3 fazlı sistemin 3 dengesiz fazörü pozitif ardişik bileşenleri, negatif ardişik bileşenleri ve sıfır ardişik bileşenleri olmak üzere 3 dengeli sistem fazörleri cinsinden yeniden çizilebilir ve böylece asimetrik sistemin incelemesini kolaylaştırır. Kohler ve arkadaşları [2] negatif ardişik empedansı kullanarak endüksiyon motorlarındaki stator sarımlarının arızalarını tespit etmeye çalıştır. Kliman ve arkadaşları [3] ise motorda bulunan ve motorun lineer olmayan ve üretim hatalarından dolayı kaynaklanan asimetrik yapıyı göz önünde alarak negatif ardişik akımından arıza tespit etmeye çalıştır. Bu çalışmada motorun manyetik őzelliginden kaynaklanan lineer olmayan ve üretim olanaqları ve hatalarından dolayı asimetrik őzelliklerin komponasyonu genişletilmiştir. Stator daki sarım arızalarının tespiti simetrik kaynak ve sabit negatif ardişik empedans gerekliliğinden bağımsız hale getirilmiştir. Ayrıca bu çalışmada simetrik bileşenleri gerçek zamanda elde edebilen yeni bir teknik kullanılmıştır.

2-STATOR ARIZASI BULMA ALGORİTMASI

Dengesiz 3 fazlı bir sistemin iki boyutlu koordinatlarındaki güçlerinin kullanılmasıyla pozitif ve negatif ardişik bileşenlerinin bulunması metodu Huang [1] tarafından geliştirilmiştir. Fortescue'nin klasik simetrik bileşenler teoremi 3 fazlı dengesiz sistemi, sistemin fazörlerini kullanarak dengeli pozitif negatif ve sıfır ardişik bileşenlere çevirir. Güçlerin Ayrıştırılması Tekniği (GAT) (Power Decomposition Technique-PDT) ise bu işlemi gerçek zaman sinyalini kullanarak yapar. Böylece GAT metodunun zaman fazörlerinin bulunması için kullanılan pozitif ve negatif ardişik bileşenlerinin gerçek zamanda bulunmasını değişik ve direkt bir yol sağlar.

GAT Metodu ile Negatif Ardişik Akımın Ölçülmesi:

Negatif ardişik bileşenlerin GAT metodu ile ölçülmesi için sistem akımları i_a , i_b ve i_c , ve sistem voltajları v_a , v_b ve v_c ölçülmelidir. Ayrıca dengeli pozitif ardişik sinyaller

referans voltajları u_a , u_b ve u_c sinyalleri tıretilir. GAT metodu ile negatif ardişik bileşenlerin bulunması için önce 3 faz akımı 2 faz akımına aşağıdaki denklemle transfer edilebilir

$$\begin{bmatrix} i_a(t) \\ i_b(t) \end{bmatrix} = 2 \begin{bmatrix} 1 & -\frac{1}{2} & -\frac{1}{2} \\ 0 & \frac{\sqrt{3}}{2} & -\frac{\sqrt{3}}{2} \\ \frac{1}{2} & \frac{1}{2} & \frac{1}{2} \end{bmatrix} \begin{bmatrix} i_a(t) \\ i_b(t) \\ i_c(t) \end{bmatrix} \quad (1)$$

burada α ve β 2 eksenli ortogonal koordinatları gösterir. Referans voltajları da aynı yöntemle 2 fazlı sisteme dönüştürülebilir.

$$\begin{bmatrix} u_\alpha(t) \\ u_\beta(t) \end{bmatrix} = 2 \begin{bmatrix} 1 & -\frac{1}{2} & -\frac{1}{2} \\ 0 & \frac{\sqrt{3}}{2} & -\frac{\sqrt{3}}{2} \\ \frac{1}{2} & \frac{1}{2} & \frac{1}{2} \end{bmatrix} \begin{bmatrix} u_a \\ u_b \\ u_c \end{bmatrix} \quad (2)$$

Referans voltajları u_α ve u_β 2-boyutlu

$$u_\alpha(t) = U \cos(\omega t) \text{ ve } u_\beta(t) = U \sin(\omega t) \quad (3)$$

şeklinde tanımlanabilir. U burada referans voltajın maksimum değeridir ve hesaplarda kolaylık sağlama açısından $U=1$ olarak alınabilir.

Anlık reel ve ve imajineri güçler $p(t)$ ve $q(t)$

$$\begin{bmatrix} p_\alpha(t) \\ p_\beta(t) \end{bmatrix} = \begin{bmatrix} u_\alpha(t) & 0 \\ 0 & u_\beta(t) \end{bmatrix} \begin{bmatrix} i_\alpha(t) \\ i_\beta(t) \end{bmatrix} \quad (4)$$

ve

$$\begin{bmatrix} q_\alpha(t) \\ q_\beta(t) \end{bmatrix} = \begin{bmatrix} -u_\beta(t) & 0 \\ 0 & u_\alpha(t) \end{bmatrix} \begin{bmatrix} i_\alpha(t) \\ i_\beta(t) \end{bmatrix} \quad (5)$$

kullanılarak hesaplanabilir.

Bu güçlerin ortalama değerleri kaynağın tam bir veya birden fazla periyodu üzerinden entegral alırmak bulunur.

$$\begin{aligned} \overline{p_\alpha(t)} &= P_\alpha = \frac{1}{T} \int_0^T p_\alpha(t) dt \\ \overline{p_\beta(t)} &= P_\beta = \frac{1}{T} \int_0^T p_\beta(t) dt \\ \overline{q_\alpha(t)} &= Q_\alpha = \frac{1}{T} \int_0^T q_\alpha(t) dt \\ \overline{q_\beta(t)} &= Q_\beta = \frac{1}{T} \int_0^T q_\beta(t) dt \end{aligned} \quad (6)$$

burada T kaynağın periyodu; P ve Q ise aktif ve reaktif güç olarak adlandırılmıştır.

P_α , P_β , Q_α , Q_β güçler, pozitif ardişik voltajlar ve akımlarla alakalı olan pozitif ardişik güçler ve negatif ardişik voltajlar ve akımlarla alakalı negatif ardişik güçler şeklinde ayrılabilirler. Denklemlerde kullanılan ' p ' pozitif ardişik bileşenleri, ' q ' ise negatif ardişik bileşenleri göstermektedir

$$P_{ap}^i = P_\alpha + P_\beta = P_{\beta p}^i$$

$$Q_{ap}^i = Q_\alpha + Q_\beta = Q_{\beta p}^i$$

ve negatif ardişik güçler ise

$$P_{an}^i = P_\alpha - P_\beta = -P_{\beta n}^i \quad (8)$$

$$Q_{an}^i = Q_\alpha - Q_\beta = -Q_{\beta n}^i$$

şeklinde tanımlanabilir. Pozitif ardişik akımları i_{ap} ve $i_{\beta p}$

$$\begin{bmatrix} i_{ap} \\ i_{\beta p} \end{bmatrix} = \frac{1}{u_\alpha^2 + u_\beta^2} \begin{bmatrix} P_{ap}^i u_\alpha - Q_{ap}^i u_\beta \\ P_{\beta p}^i u_\beta + Q_{\beta p}^i u_\alpha \end{bmatrix} \quad (9)$$

ve negatif ardişik akımları i_{an} ve $i_{\beta n}$

$$\begin{bmatrix} i_{an} \\ i_{\beta n} \end{bmatrix} = \frac{1}{u_\alpha^2 + u_\beta^2} \begin{bmatrix} P_{an}^i u_\alpha - Q_{an}^i u_\beta \\ P_{\beta n}^i u_\beta + Q_{\beta n}^i u_\alpha \end{bmatrix} \quad (10)$$

gerçek zamanda elde edilebilirler.

Akımla eş zamanlı olarak aynı işlemler voltaj içinde uygulanabilir. Kompleks formda $(x+jy)$, ardişik bileşenler elde edilen bu sekiz değerden şöyle oluşturulabilirler

$$I_a = (P_{an}^i + jQ_{an}^i) = I_{ax} + jI_{ay} \quad (11)$$

$$I_p = (P_{ap}^i + jQ_{ap}^i) = I_{px} + jI_{py}$$

$$V_{sn} = (P_{\beta n}^i + jQ_{\beta n}^i) = V_{sx} + jV_{sy} \quad (12)$$

$$V_{sp} = (P_{\beta p}^i + jQ_{\beta p}^i) = V_{sx} + jV_{sy} \quad (13)$$

Eğer referans sinyalinin faz açısı pozitif ardişik voltaj ile aynı ise V_{sp} değeri sıfırdır. Pozitif ardişik voltajın V_{sp} faz açısı ϕ_p

$$\phi_p = \alpha \tan\left(\frac{V_{sy}}{V_{sx}}\right) \quad (14)$$

ile bulunabilir. Daha sonra ardişik bileşenler $(\exp(-j\phi_p))$ çarpılarak V_{sp} 'nin referans fazörü olarak kullanılmaya sağlanabilir. Bu bize diğer hesaplarda kolaylık sağlar.

3-STATOR DURUMUN ANALİZİ

Yukarıda pozitif ardişik kaynak voltajı: V_{sp} , pozitif ardişik akımı: I_p , negatif ardişik kaynak voltajı: V_{sn} ve negatif ardişik akımı I_n 'nin ömeklenen voltaj ve akımlardan GAT metodu ile nasıl elde edileceği gösterildi. Simetrik bir sisteme voltaaj ve akımların farklı simetrik bileşenleri birbirlerine bağlı değildir [6]. Yani simetrik sistemde, sıfır ardişik akımı sadece sıfır, pozitif ardişik akımı sadece pozitif ve negatif ardişik akımı sadece negatif gerilim düşümleri oluşturur. Böylece ardişik empedanslar ardişik voltaajların ardişik akımlara bölmemesiyle bulunabilir. Motorun arızalı olmayan durumda negatif ardişik empedansı Z_{hn} , negatif ardişik voltaaj ve negatif ardişik akım kullanılarak aşağıdaki gibi bulunabilir.

$$Z_{hn} = \frac{V_{sn}}{I_n} = \frac{V_{sn} + jV_{sy}}{I_{sn} + jI_{sy}} = R_{hn} + jX_{hn} \quad (15)$$

Stator arızası durumunda ölçme sonucu elde edilen negatif ardişik akım I_n , iki bileşenden oluşmaktadır. Kaynaktan dolayı oluşan negatif ardişik akımı I_{sn} ve motordan (motordaki arızadan dolayı) kaynaklanan negatif akım I_{mn} .

$$I_n = I_{sn} + I_{mn} \quad (16)$$

Böylece stator arızasından kaynaklanan negatif ardişik akım I_{mn}

$$I_{mn} = I_n - I_{sn} \quad (17)$$

Kaynaktan dolayı oluşan negatif ardişik akım I_{sn} daha önce tespit edilen motorun negatif ardişik empedansının Z_{hn} kullanımlaşyla elde edilebilir.

$$I_{sn} = \frac{V_{sn}}{Z_{hn}} \quad (18)$$

I_{mn} akımının değeri ve faz açısı stator sarımlarındaki arızanın durumunu belirtir.

Termal ve motorun lineer olmayan etkilerinin minimumuna indirilmesi:

Motor, çalışma ortamı ve değişik yüklerden (ve yüksek yüklerden) dolayı istenildiği ve buda negatif ardişik empedans rezistans kısmının değişmesine neden olur. Bu değişim eğer Z_{hn} 'e yansıtılmaz ise arıza akımı I_{mn} 'in değeri değişir (ariza olmadığı halde). Bu etkiye en az indirmek için I_{mn} akımı Z_{hn} 'nın sadece reaktans X_{hn} kısmı kullanılarak bulunabilir.

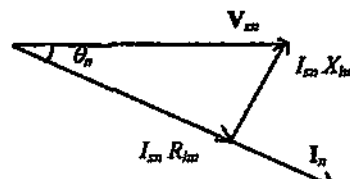
Sekil 1 arızalı olmayan motorun negatif ardişik voltaaj V_{sn} ve bu voltaajdan dolayı kaynaklanması beklenen negatif ardişik akımın I_{sn} fazörlerini göstermektedir. V_{sn} voltaajı şekilde

$$V_{sn} = I_{sn} R_{hn} + jI_{sn} X_{hn} \quad (19)$$

ile hesaplanabilir. Arızalı olmayan motorun kaynaktan dolayı oluşan negatif ardişik akım ise

$$I_{sn} = \frac{V_{sn} \sin \theta_n}{X_{hn}} \quad (20)$$

bulunabilir. Burada $\theta_n = \alpha \tan\left(\frac{X_{hn}}{R_{hn}}\right)$



Şekil 1: Negatif bileşenlerin fazör diyagramı

Deneyleerde negatif ardişik kaynak voltaajı elde etmek için her faz için bir varyat kullanılmıştır. Böylece faz voltaajlarının ayrı ayrı değiştirilebilmesi imkân elde edilmiştir. Stator sarımlarına uygulanan maksimum voltaaj negatif ardişik voltajin faz açısı ϕ_n ile orantılıdır. Yapılan deneyle sonucu negatif ardişik reaktansın daha önce sanıldığı gibi sabit olmadığı, negatif ardişik voltajin değerine ve faz açısına bağlı olduğu gösterilmiştir [5]. Aynı zamanda değişik yüklerde X_{hn} de değişik değerler alır (rotor oyuklarından dolayı) [5]. Negatif ardişik reaktansı X_{hn} aşağıdaki gibi yazılabilir.

$$\frac{1}{X_{hn}} = \gamma_0 + \gamma_1 V_{sn} + \gamma_2 \sin(2\phi_n) + \gamma_3 \cos(2\phi_n) \quad (21)$$

γ parametreleri ardişik en küçük kareler yöntemi ile deneysel olarak elde edilebilirler. Arızalı olmayan motor için negatif akım I_{sn} gözlenerek negatif ardişik kaynak voltaajı V_{sn} ve ϕ_n açısı ϕ_n değiştirilir.

Motordaki yük değişimleri manyetik alanın değişmesine sebep olur. Bu motorun oluklarında manyetik doyuma sebep olur. Ayrıca motor da tırtılinden dolayı kaynaklanan belirlil bir dengesizlik vardır ve bu yük ve voltaaj değişimlerine bağlı olarak değişik değerlerde negatif akım oluşmasına sebep olur [5]. Bunu önlemek için motorun kaynak voltaajı ve yük değişimlerine bağlı olan üçüncü bir negatif ardişik akımı I_{mn} tanımlanabilir. Bu akımdaki değişim pozitif ardişik akımın yük bileşeni I_{px} ve manyetik bileşeni I_{py} akımlı cinsinden yazılabilir.

$$I_{mnv} = \beta_0 + \beta_1 I_{px} + \beta_2 I_{px}^2 + \beta_3 I_{py} + \beta_4 I_{py}^2 \quad (22)$$

$\beta_0, \beta_1, \beta_2, \beta_3$, ve β_4 parametreleri sabittir ve ardışık en küçük kareler yöntemi ile bulunabilirler. Bu parametreleri bulmak için kaynak voltajı dengelenir, voltaj ve yük değiştirilirken ölçülen negatif akım I_{mnv} ile sıfırlanması sağlanmaya çalışılır.

Böylece arıza akımı son olarak

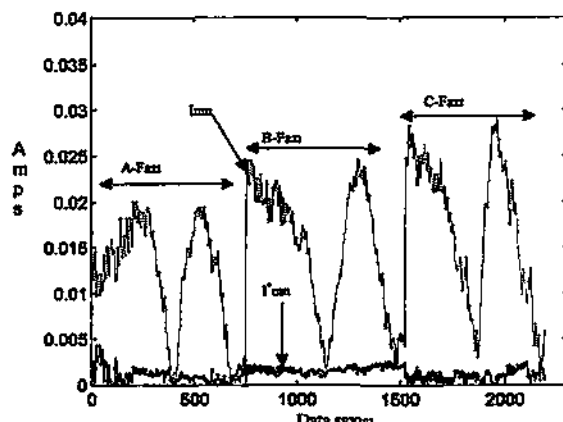
$$I_m^* = I_n - I_m - I_{mnv} \quad (23)$$

denklemiyle elde edilebilir. Burada I_n toplam ölçülen negatif akım, I_m kaynaktan dolayı oluşan negatif akım ve I_{mnv} ise yük ve voltajdan dolayı oluşan negatif akımdır.

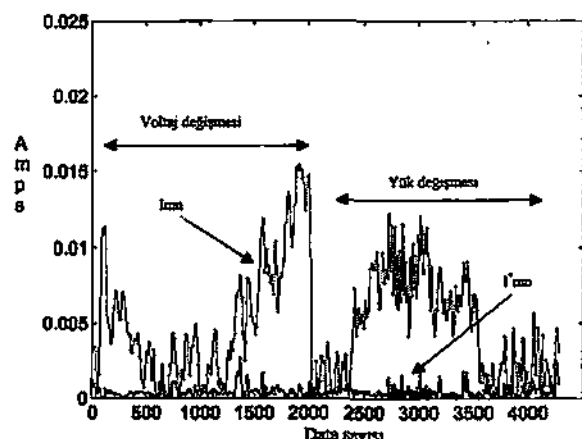
4. DENEYSEL SONUÇLAR

Geliştirilen stator sarımlarındaki arıza tespiti algoritması PC ve plug-in-card kullanılarak 2 HP lik bir Reliance motoru üzerinde test edilmiştir. Bu motor deney amaçlı olarak küçük sayıdaki sarım sayısının kısa devre edilebilmesi için özel olarak sarılmıştır. Tablo 1 motorun özelliklerini göstermektedir. Motorun stator sarımlarına bağlı 10 adet terminal (tap) vardır. 5 tanesi a -fazının 5 tanesi de b -fazının sarımlarına bağlıdır. Bu terminaller sayesinde her iki faz için 1, 2, 3 ve 4 adet sarım sayısı kısa devre edilebilir. Bu terminaller bir anahtar kutusuna bağlanmıştır. Böylece kısa devre edilen sarım sayısı ve faz anahtarları yardımıyla değiştirilebilir. Kısa devre edilen sarımlara ayrıca değiştirebilen bir direnç bağlanmıştır. Direncin amacı kısa devre durumunda oluşan yüksek akımın sınırlanmasıdır. Böylece sarımların tamamen kısa devre olmasından kaçınılmaktadır.

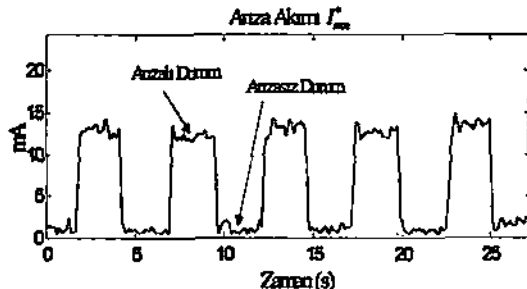
Aşağıdaki şekiller test edilen motor için elde edilen sonuçları göstermektedir. Şekil 2 ve 3 kompansasyonun önemini belirmek için verilmiştir. Burada arıza akımı kompansasyondan önce (17) ve sonra (23) ki değerleri için aynı şekilde tizerinde verilmiştir. Şekil 2 negatif kaynak voltajının değişik değerlerde her 3 fazda uygulanması ile elde edilmiştir. Şekil 3 ise pozitif kaynak voltajının ve yükün değişirilmesiyle elde edilmiştir. Dikkat edilirse bu her iki deneye arıza olmadığı halde kompansasyondan önceki akım I_m sanki hata varmış gibi değeri değişmektedir. Buna karşılık kompansasyondan sonrası I_m akımının değeri sıfır yakını kalmaktadır ki buda beklenen değerdir. Şekil-4 iki sarımın belli aralıklarla (anahtarları açıp kapatmak yoluyla) kısa devre edilmesi ile elde edilmiştir. Şekil-5 ise sırasıyla bir, iki, üç ve dört sarımın kısa devre edilmesiyle elde edilmiştir.



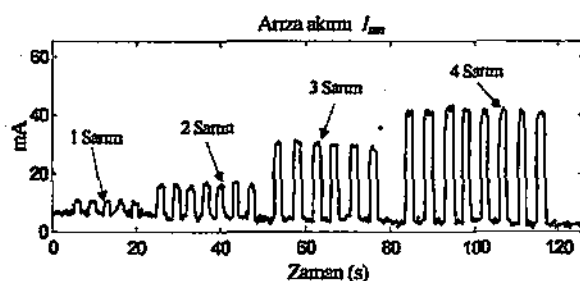
Şekil-2: Arıza akımı. Negatif voltaj değişik değerlerde değişik fazlara uygulanmıştır.



Şekil-3: Voltaj ve yük değişmesi için arıza akımı



Şekil 4: 2 sarının kısmen motor yük altındayken kısa devre edilmesi.



Şekil 5: 1, 2, 3, ve 4 sarının sırasıyla %1 dengesiz voltaj ve tam yük altında kısa devre edilmesi

5-SONUÇ

Bu çalışmanın sonuçunda geliştirilen algoritma ile negatif akım kullanılarak stator arızalarının her türlü çalışma şartları altında yüksek bir hassasiyete tespit edilebileceği gösterilmiştir. Bu hassasiyete yalnızca motorun artuk negatif akımların döşümülferek ulaşamayacağı aynı zamanda negatif reaktansta (veya empedansta) oluşan değişikliklerinde göz önünde tutulması gereği gösterilmiştir. Teorik ve deneysel bulgular birlikte kullanılarak bunların nasıl kompanze edileceği gösterilmiştir.

Reliance Motor	
Hat Gerilimi	460 V
Tam yük hat akımı	2.7 A
Güç	2 HP
Çalışma hızı @ 60 Hz	1752 rpm
Kutup sayısı	4
Çalışma faktörü	0.813
Statorun sarım sayısı	252
Rotorun bar sayısı	44
Servis faktörü	1.15

Tablo 1: Motorun özellikleri. Motor star bağlıdır.

REFERANSLAR

- [1] S.P. Huang, "Active Mains Supply Harmonic Filtering," *University of Sussex*, PhD Thesis 1997.
- [2] J.L. Kohler, J. Sottile, and F.C. Trutt, "Alternatives for Assessing the Electrical Integrity of Induction Motors," *IEEE Trans. Industry Applications*, Vol.28, No.5 pp.1109-1117, 1992.
- [3] G.B. Kliman, W.J. Premerlani, R.A. Koegl, and D. Hoeweler, "A New Approach to On-Line Turn Fault Detection in AC Motors," *IAS Annual Meeting*, pp.681-693, October 1996.
- [4] C.L. Fortescue, "Method of Symmetrical Co-ordinates Applied to the Solution of Polyphase Network," *A.I.E.E. Trans.* Vol.37, pp.1027-1140, 1918.
- [5] M. Arkan, "Stator Fault Diagnosis In Induction Motors" *University of Sussex*, PhD Thesis, 2000.
- [6] C.F. Wagner, and R.D. Evans, "Symmetrical Components," *McGraw-Hill Book Company, Inc.* New York, 1933.
- [7] S. Williamson, and K. Mirzajan, "Analysis of Cage Induction Motors With Stator Winding Faults", *IEEE Trans. On Power Apparatus and Systems*, Vol. PA-104, N0.7, pp.1838-1842, July 1985.
- [8] T. Soderstrom, and P. Stoica, "System Identification," *Prentice Hall*, London, 1989.
- [9] G.J. Paoletti, and A. Rose, "Improving Existing Motor Protection for Medium Voltage Motors", *IEEE Trans. On Industry Applications*, Vol.25, No.3, pp.456-461 May/June 1989